

Computergrafik 1

2. Teil: Bildverarbeitung

Digitalfotografie, Abtastung von Bildern,
Konvolution und Korrelation,
Fouriertransformation

Themen heute

- Bilder aus der Digitalfotografie
 - Kontrastumfang, Histogramme
 - Kurzeinführung Zonensystem
 - High Dynamic Range (HDR) Bilder
- Abtastung von Bildern
 - Sampling
 - Aliasing
 - Moire Muster
- Konvolution und Korrelation
- Fourier-Transformation (Anfang)

Bilder aus der Digitalfotografie

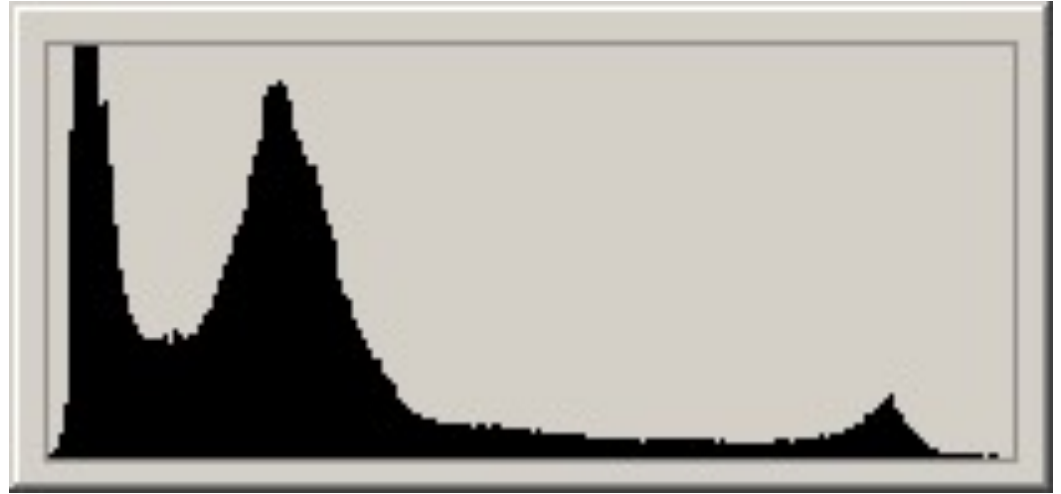
Kontrastumfang einer Szene



Kontrastumfänge versch. Medien

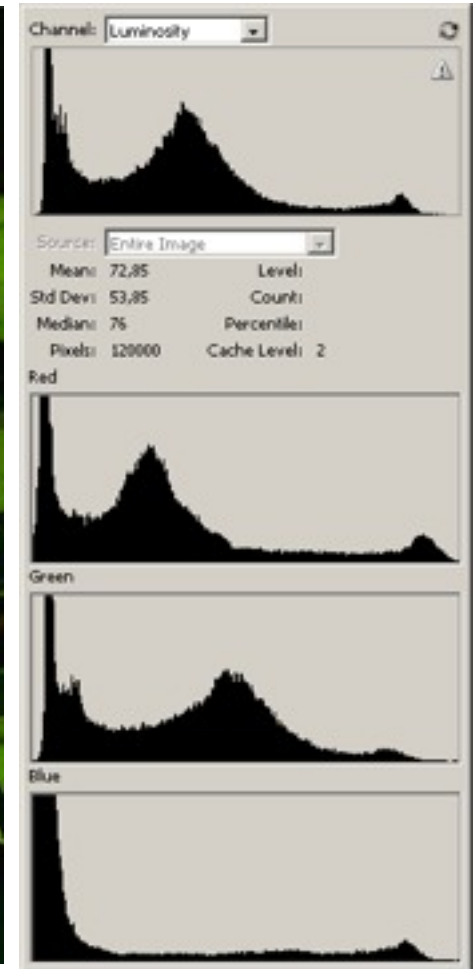
- Auge:
 - 2^{10} ohne Irisanpassung
 - 2^{20} mit Irisanpassung
- Schwarzweißfilm: ca. 2^8
 - Push-Entwicklung: 2^7
 - Pull-Entwicklung: 2^9
- Moderner Farbnegativfilm: 2^{10}
- Diafilm: 2^5
- Digitalkamera:
 - EOS 10D bei 400 ASA: 2^9

Histogramm eines Bildes

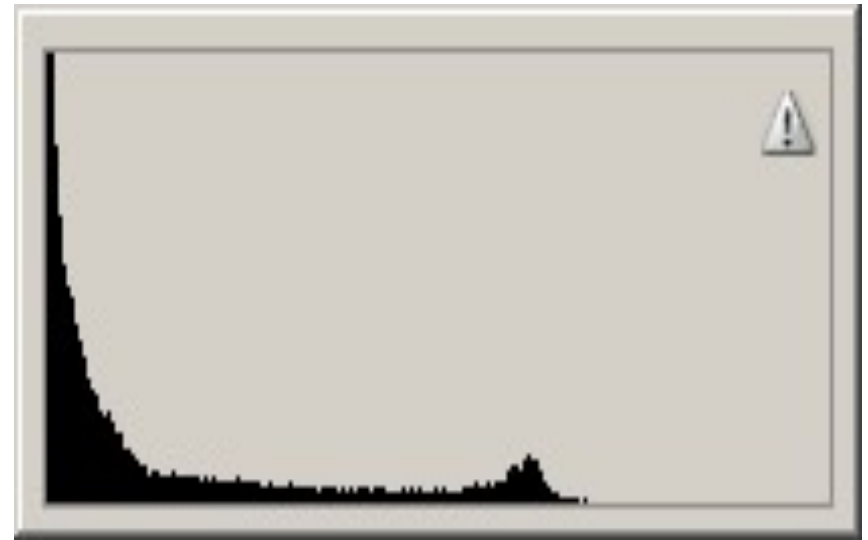
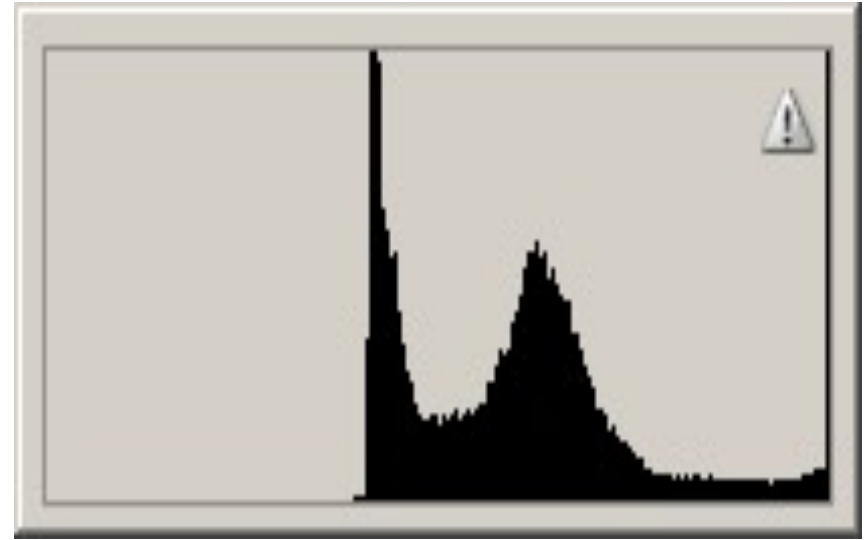


- Relative Anzahl der Pixel im Bild je Helligkeit
- Wichtiges Instrument zur Beurteilung der Datenqualität

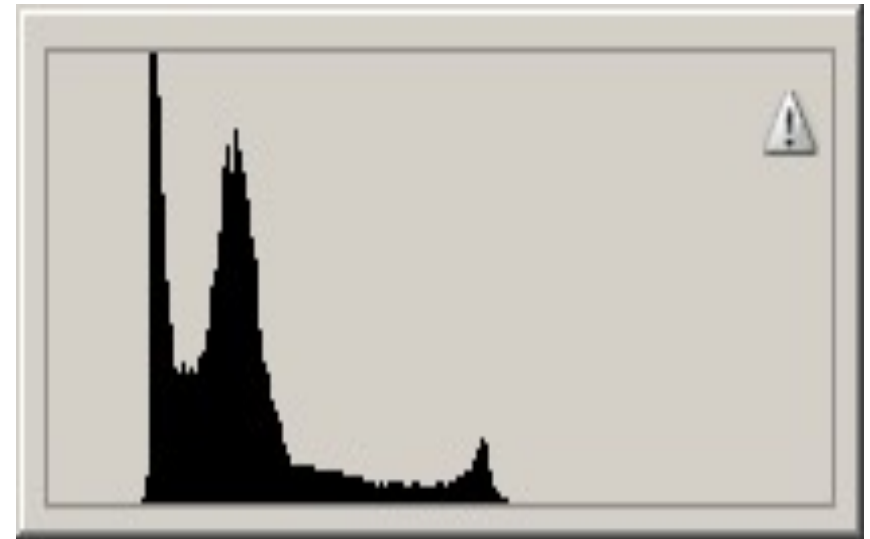
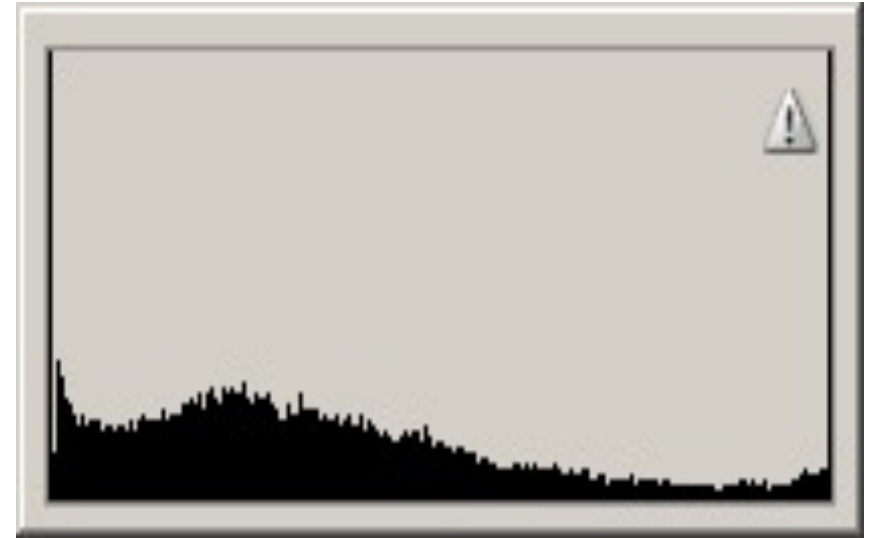
Histogramme der Farbkanäle



Über- und Unterbelichtung

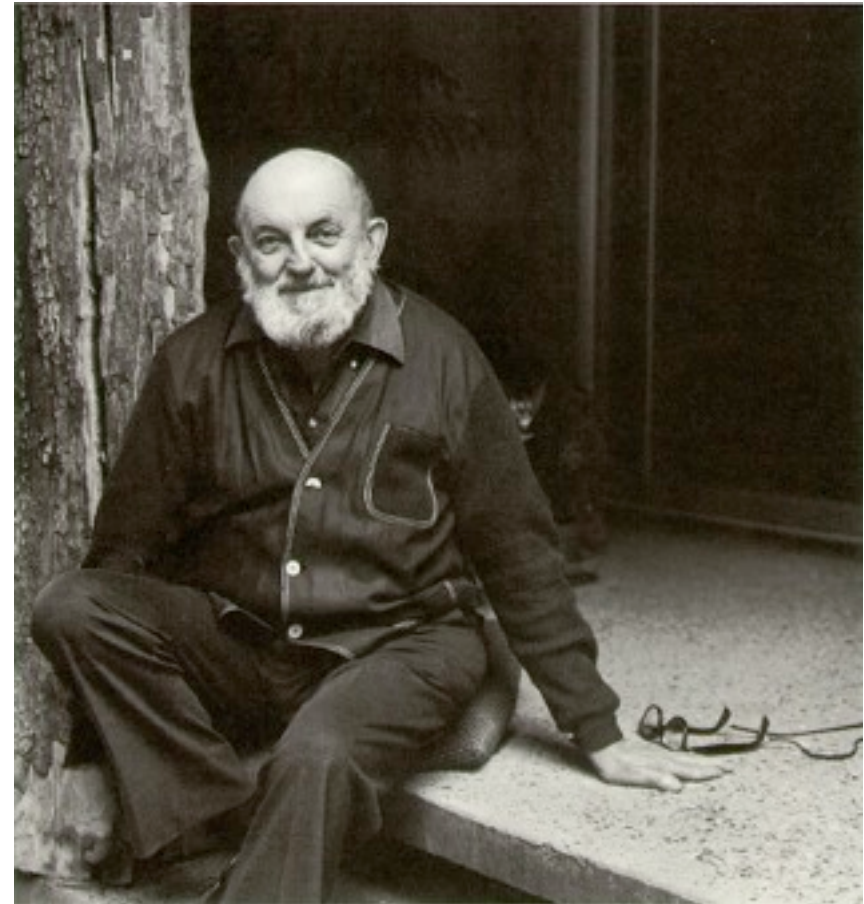


Kontrastanhebung und -absenkung

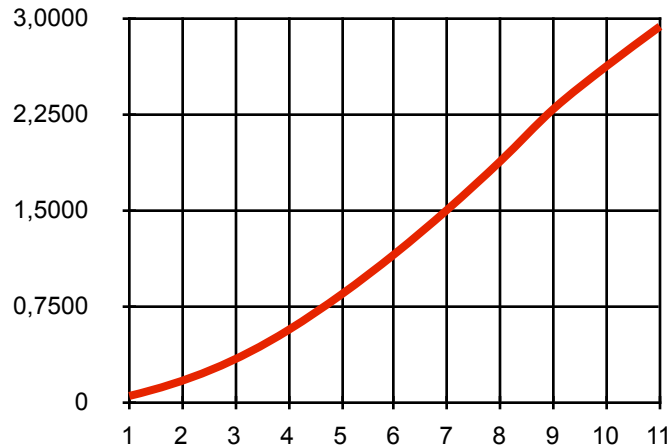


Exkurs: Zonensystem (Ansel Adams)

- Ansel Adams [1902-1984]
- Landschaftsfotografie in S/W in Perfektion
- Verwendeter Prozess:
 - S/W Negativfilm (Großformat)
 - Abzug auf S/W Papier
 - Komplette Steuerung der Entwicklungsprozesse für Negativ und Positiv
 - Abwedeln und Nachbelichten zur Steuerung lokaler Bildhelligkeit
- Definition von 10 „Zonen“ für Helligkeiten im Bild



Schwärzungskurve von Filmen



- X-Achse: Logarithmus der Belichtung (entspr. Blenden- oder Zeitstufen)
- Y-Achse: Dichte des geschwärzten Films, ebenfalls logarithmische Einheit
- Kurve best. aus Fuß, linearem Bereich, Schulter

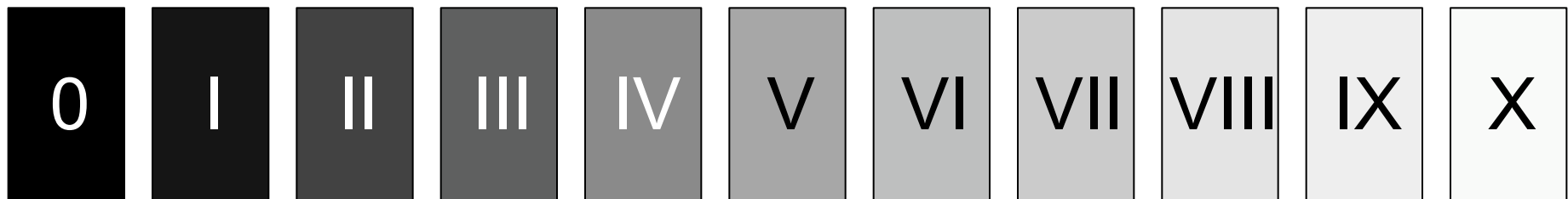
Definition der Zonen

- Jede Zone entspricht einer Belichtungsstufe, also der Verdopplung der Lichtmenge
 - Durch Wahl der nächstkleineren Blendenzahl
 - Oder durch Verdopplung der Belichtungszeit

Durchgezeichneter Bereich

Kopierfähiger Bereich

Tiefschwarz bis Papierweiss



Definition der Zonen

- II: tiefe Schatten fast ohne Details
- III: voll durchgezeichnete Schatten
- IV: dunkles Laubwerk
- V: Neutralgrau mit 18% Reflexion
- VI: mittlere Hauttöne
- VII: helle Hauttöne, Schneeflächen
- VIII: noch gezeichnete Lichter
- IX: fast Papierweiss ohne Details

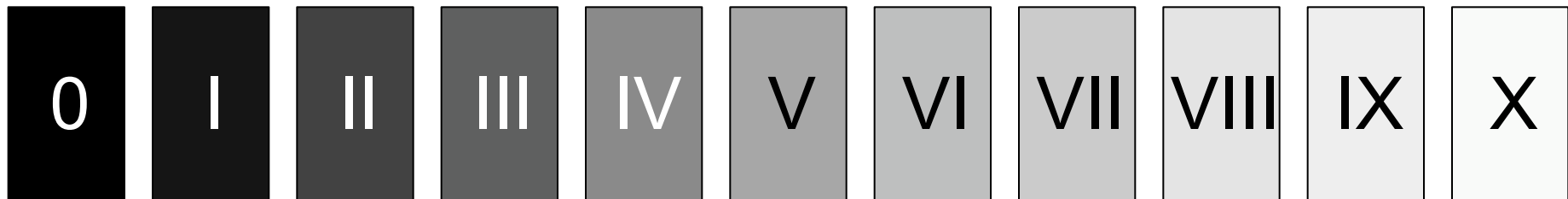
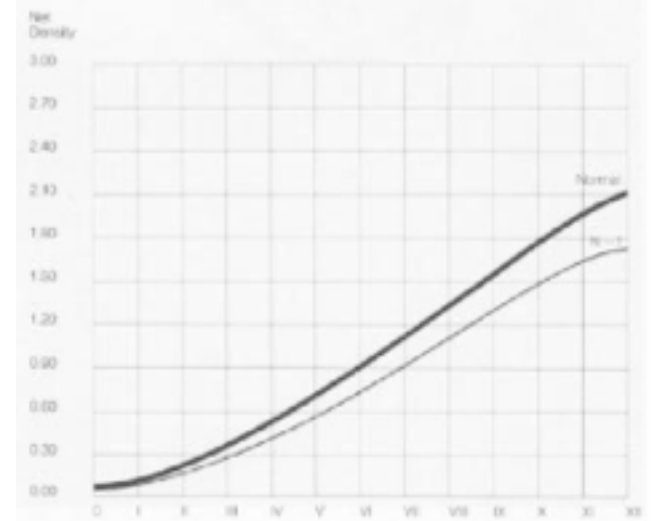
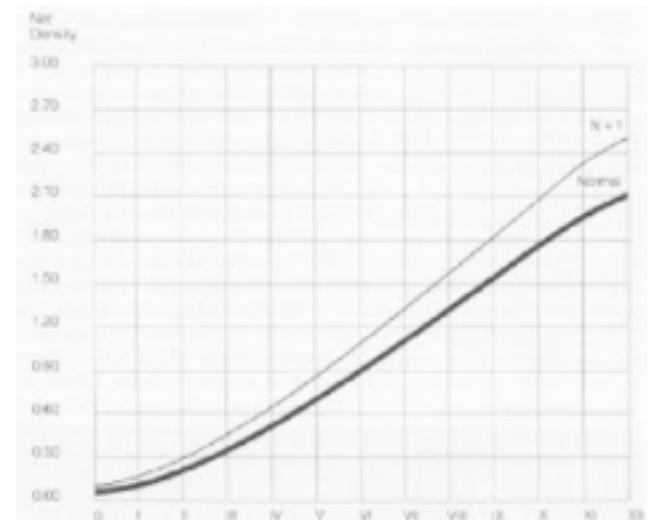
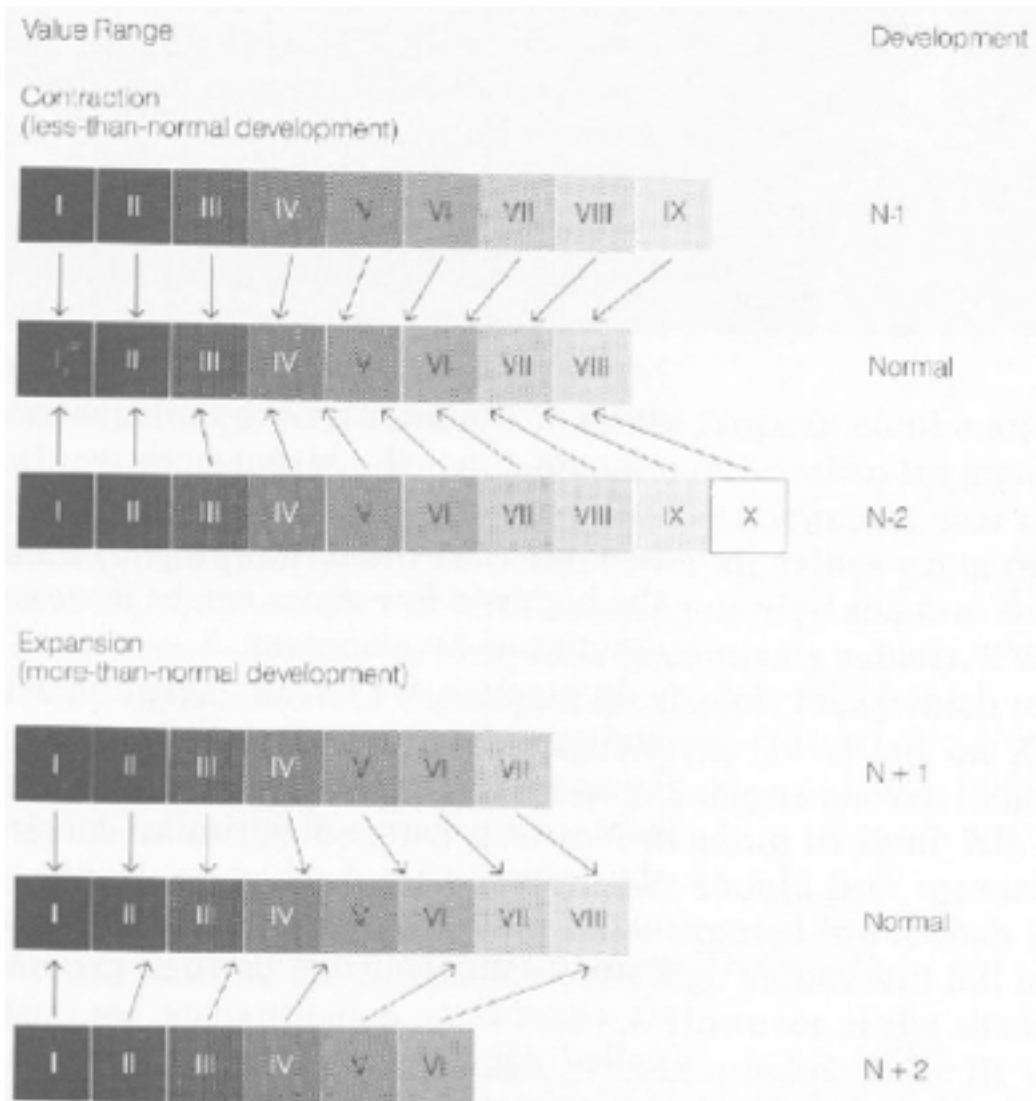


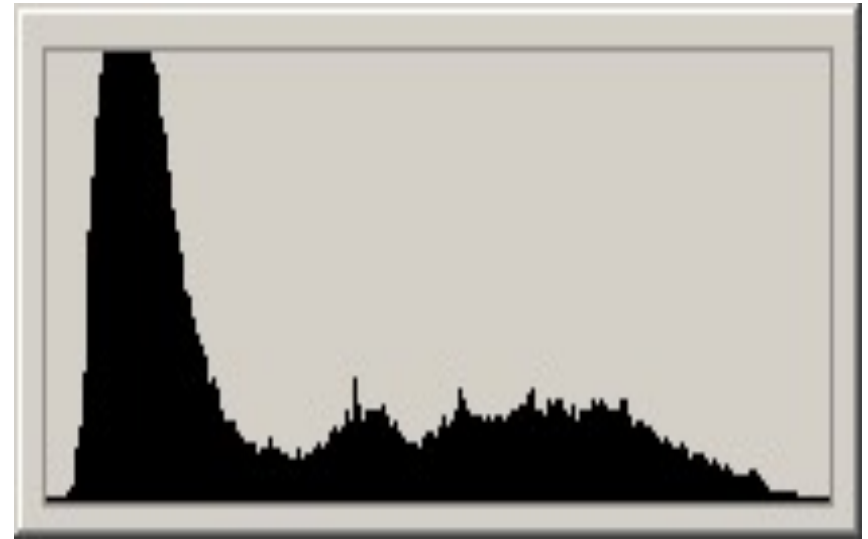
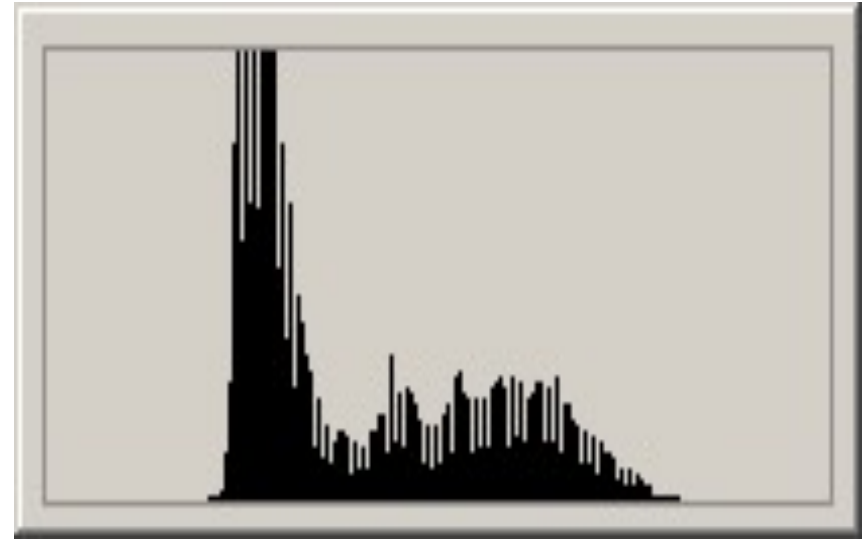
Abbildung der Szene in Zonen

- Bei „normalem“ Kontrastumfang:
 - Schatten in Zone III
 - Lichter \leq Zone VIII ?
- Bei zu hohem Kontrastumfang der Szene:
 - Bewusster Verzicht auf Details in Lichtern oder Schatten
 - Verkürzte Filmentwicklung und verlängerte Belichtung
- Bei zu niedrigem Kontrastumfang:
 - Abzug auf „hartes“ Papier (d.h. mit hohem Kontrast)
 - Verlängerte Filmentwicklung und verkürzte Belichtung
- Ziel: volle Ausnutzung des Kontrastumfangs des Films, aber überall noch volle Detailzeichnung

Abbildung der Szene in Zonen



Auswirkung am Histogramm



Übertragung auf digitale Fotografie

- Bewusste Steuerung der Helligkeit durch Spotmessung auf mittleres Grau
- Digitale Bildsensoren kritisch in den Lichtern
 - Warnfunktion mancher Kameras benutzen
 - Im Zweifel eher knapper belichten
 - Wenn Zeit genug: Belichtungsreihe
 - Aufhellblitz zur Kontrastreduktion
- Reduktion vom Bildsensor (12 Bit) auf JPEG (8 Bit) findet schon in der Kamera statt
 - RAW Format verwenden, um Details in Lichtern und Schatten zu erhalten
- Kontrastanpassung später am Histogramm

High Dynamic Range (HDR) Bilder

- Ziel: Kontrastumfang der Natur adäquat darstellen (z.B. 2^{20})
- 1. Problem: beschränkter Dynamikumfang der Aufnahmesensoren
- 2. Problem: Bildformate haben nur 8 oder 16 Bit Dynamikumfang je Farbkanal



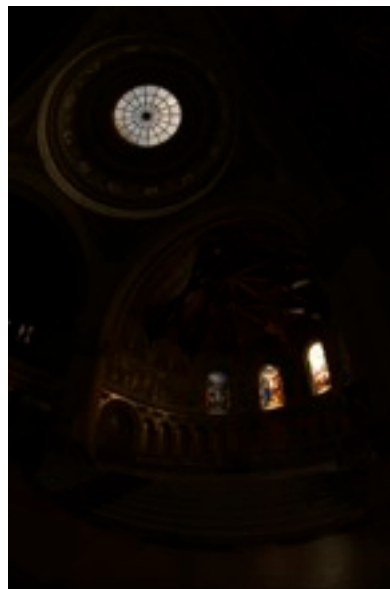
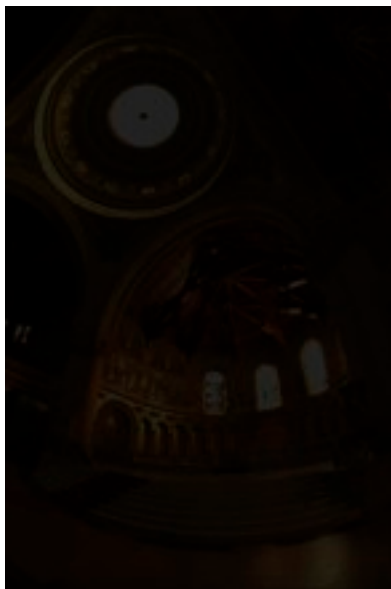
Bildquelle: <http://www.cybergrain.com/>
(Auch folgende Folien)

Repräsentation von HDR im Rechner

- Einfacher Trick: Pixelwerte nicht als 8 oder 16 Bit Integers, sondern
 - 32 oder 48 Bit Integer
 - 16 Bit Floats
 - 32 Bit Floats
- Verschiedene Formate vorgeschlagen
 - <http://www.openexr.com/>
 - Portable Float maps (PFM, wie PPM)
 - floating point TIFF

Erzeugung von HDR Bildern

- Spezielle HDR Kameras
- Raytracing bzw. Rendering
- Belichtungsreihe und Kombination mittels [Photoshop](#) oder [HDRshop](#)



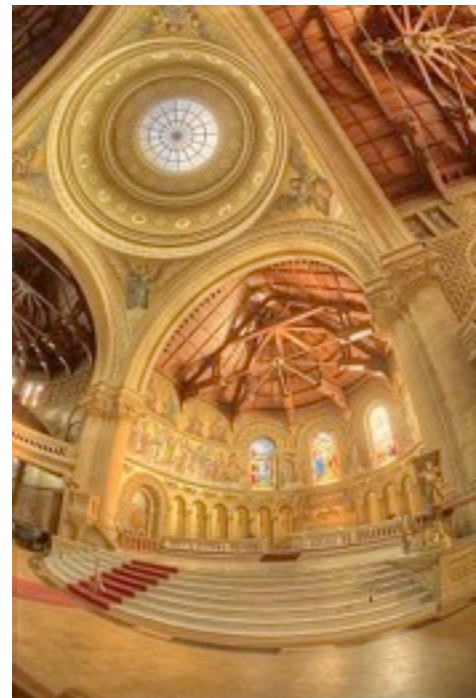
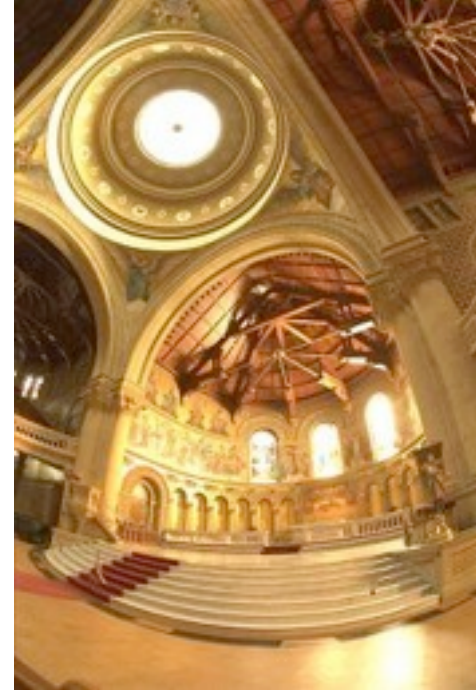
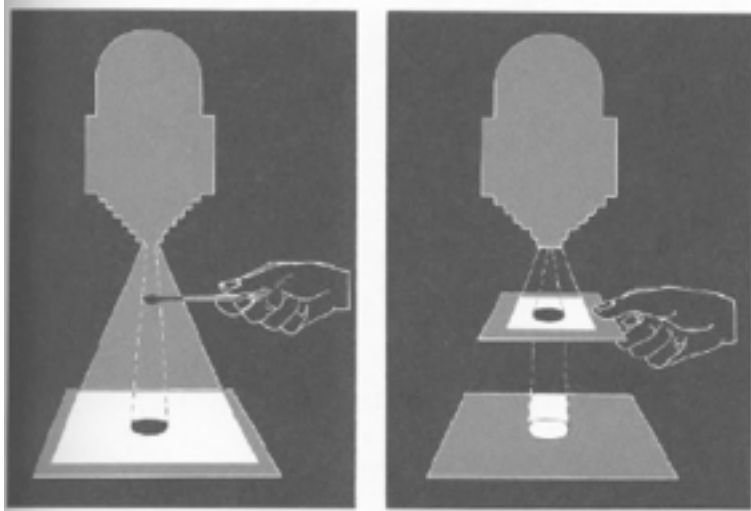
Anzeige von HDR Bildern

- Bis vor kurzem garnicht ;-)
- Heute HDR-Displays, Kontrastumfang bis 1:200.000 (2^{18}) (Quelle <http://www.brightsidetech.com/>)
- Grundidee: Hintergrundbeleuchtung aus einzelnen weißen LEDs
- Kann je Pixelgruppe Hell oder Dunkel sein



Konvertierung auf LDR

- Verfahren: Tone mapping
- z.B. manuell in Photoshop mittels „dodge and burn“
- Automatisch: aktuelles Forschungsgebiet



Tone mapping mit lokalen Mittelwerten

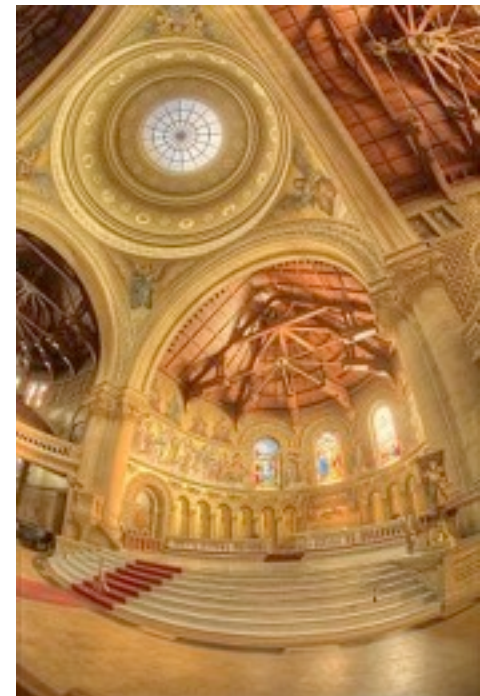
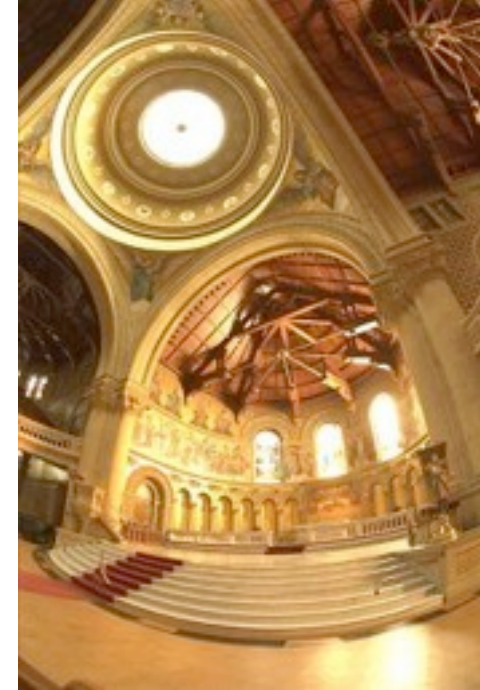
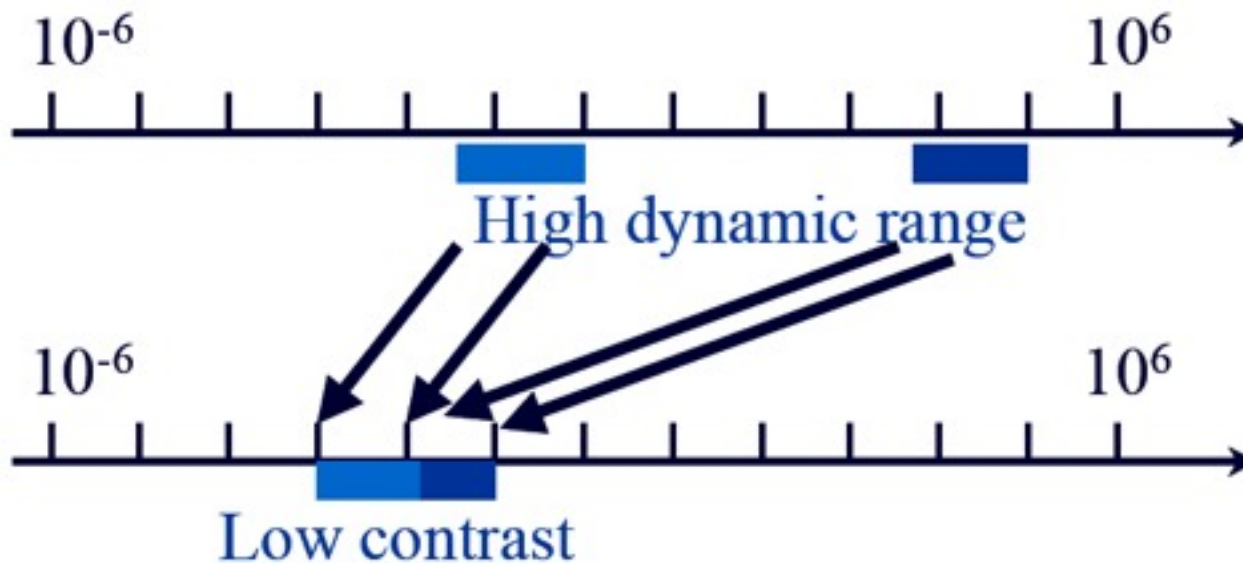


Tone mapping mit lokalen Mittelwerten

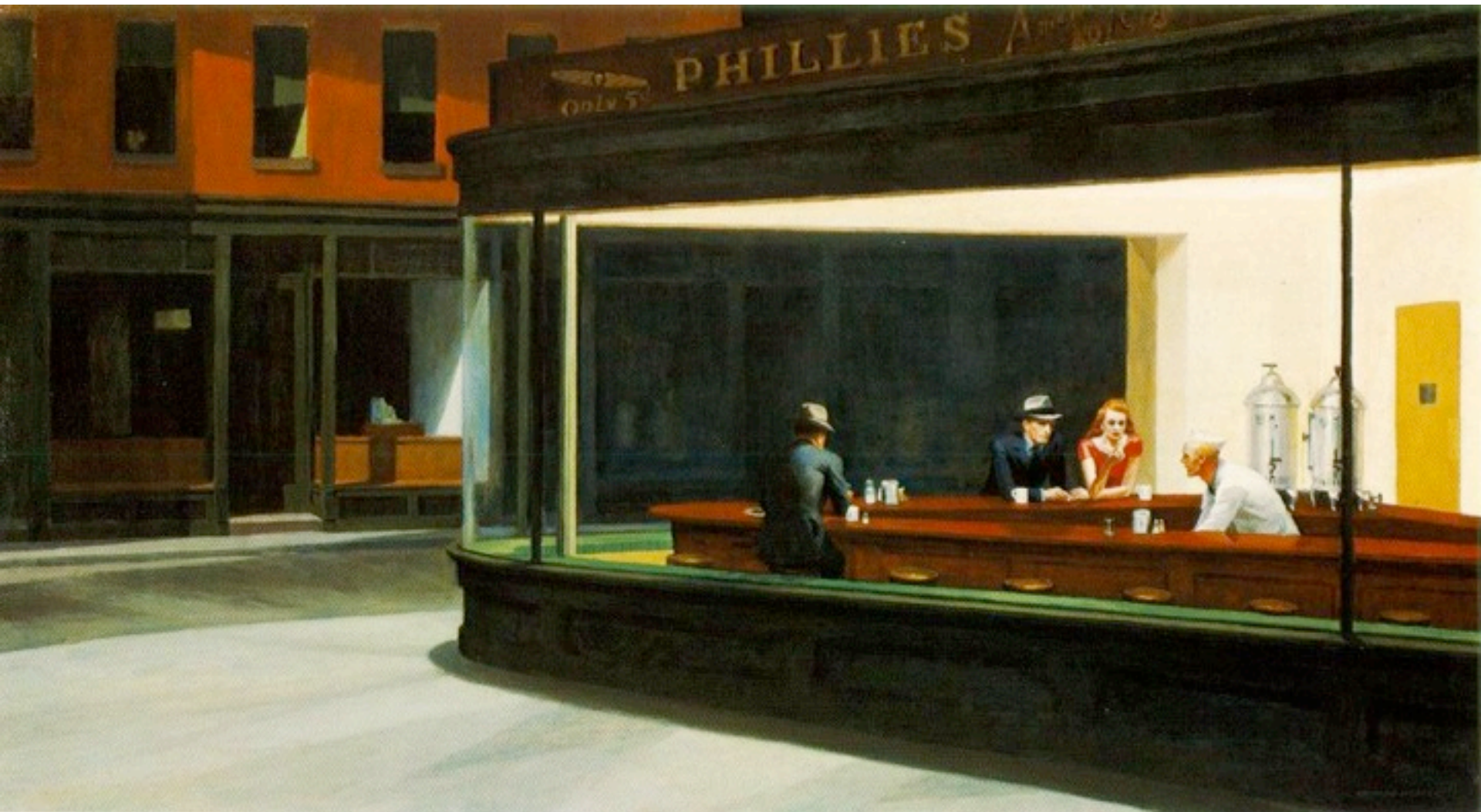


Tone mapping am Histogramm

- Kernidee: ignoriere leere Stellen im Histogramm
- Schiebe restliche Bildteile im Histogramm zusammen







Linksammlung

- <http://www.anseladams.com/>
- <http://www.cybergrain.com/tech/hdr/resources.html>
- <http://www.hdrshop.com/>

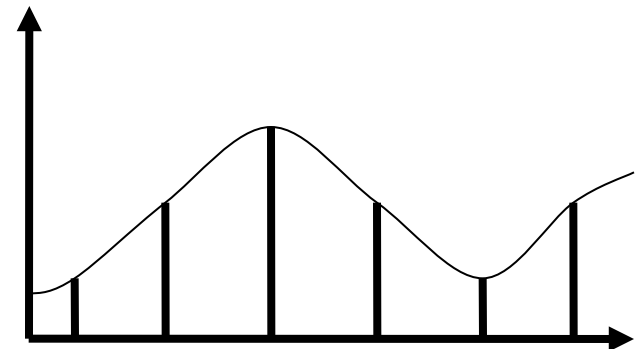
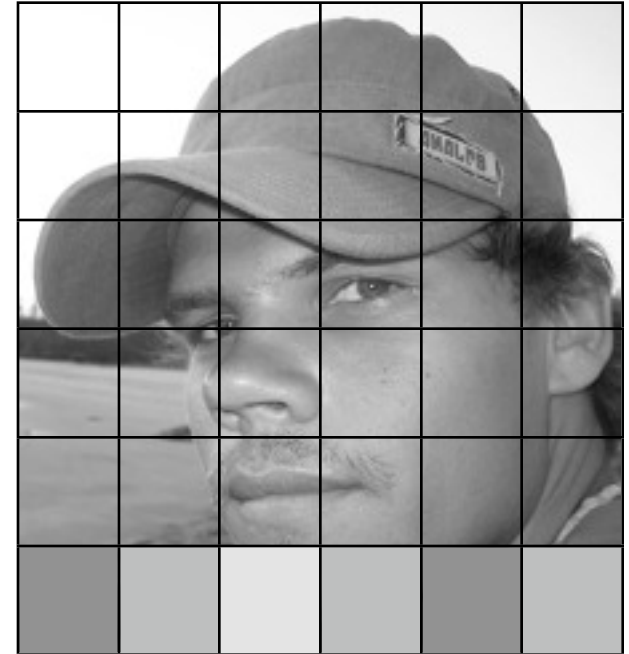
Abtastung Digitaler Bilder

Abtastung einer Szene

- Bildhelligkeit wird nicht für beliebige x, y kontinuierlich gemessen
- Messung nur an bestimmten Stellen, bzw. Integration über bestimmte Bereiche (Pixel)
- Entspricht mathematisch der Multiplikation mit einer Impulsfolge (Summe verschobener Impulsfunktionen)
- Impulsfunktion δ (oder Dirac-Funktion):

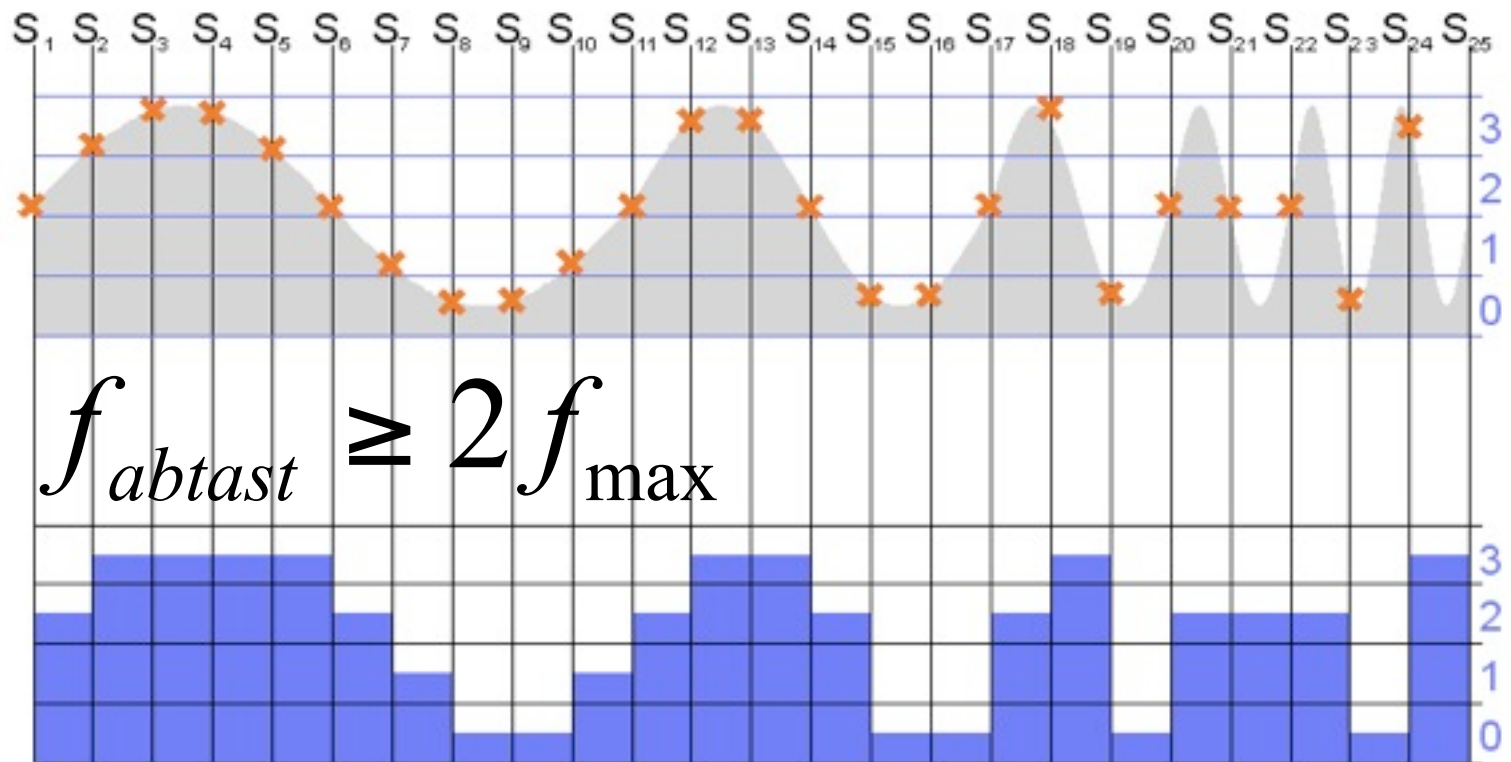
$$\delta(x - a) = \begin{cases} 0 & x \neq a \\ \infty & x = a \end{cases} \quad \int_{-\infty}^{\infty} f(x)\delta(x - a) dx = f(a)$$

<http://de.wikipedia.org/wiki/Delta-Distribution>



Abtasttheorem von Nyquist-Shannon

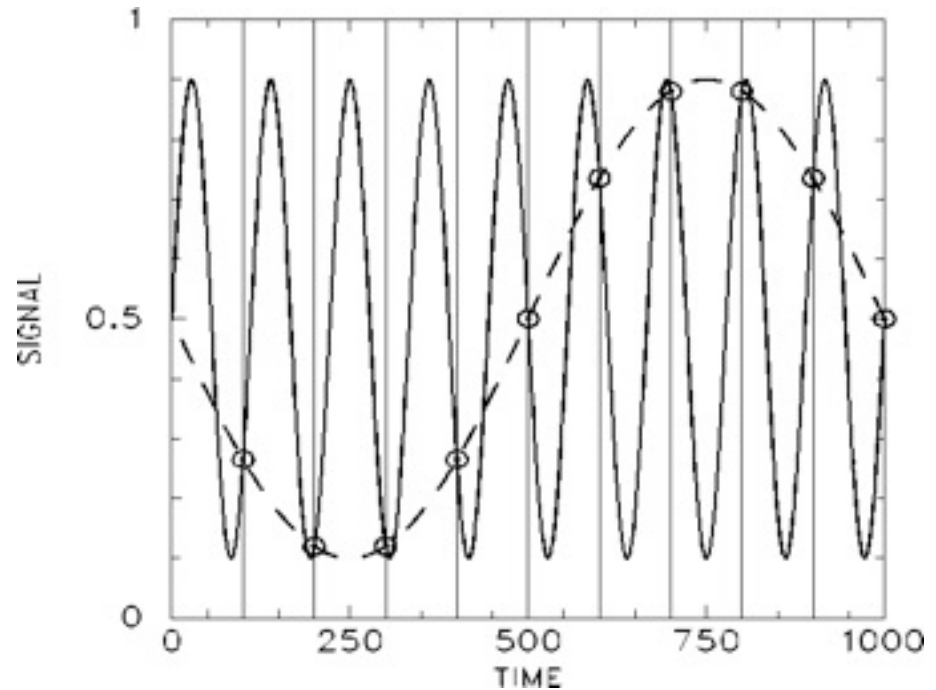
- Ein digitales Signal mit maximalem Frequenzanteil f_{\max} muss mit mehr als der doppelten Frequenz $2 f_{\max}$ abgetastet werden



Aliasing

$$f_{\text{abtast}} < 2 f_{\text{signal}}$$

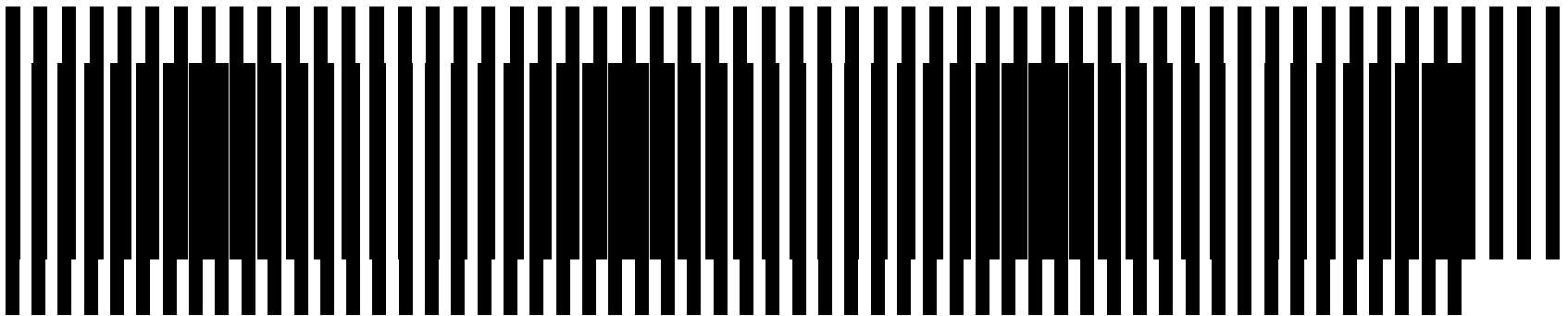
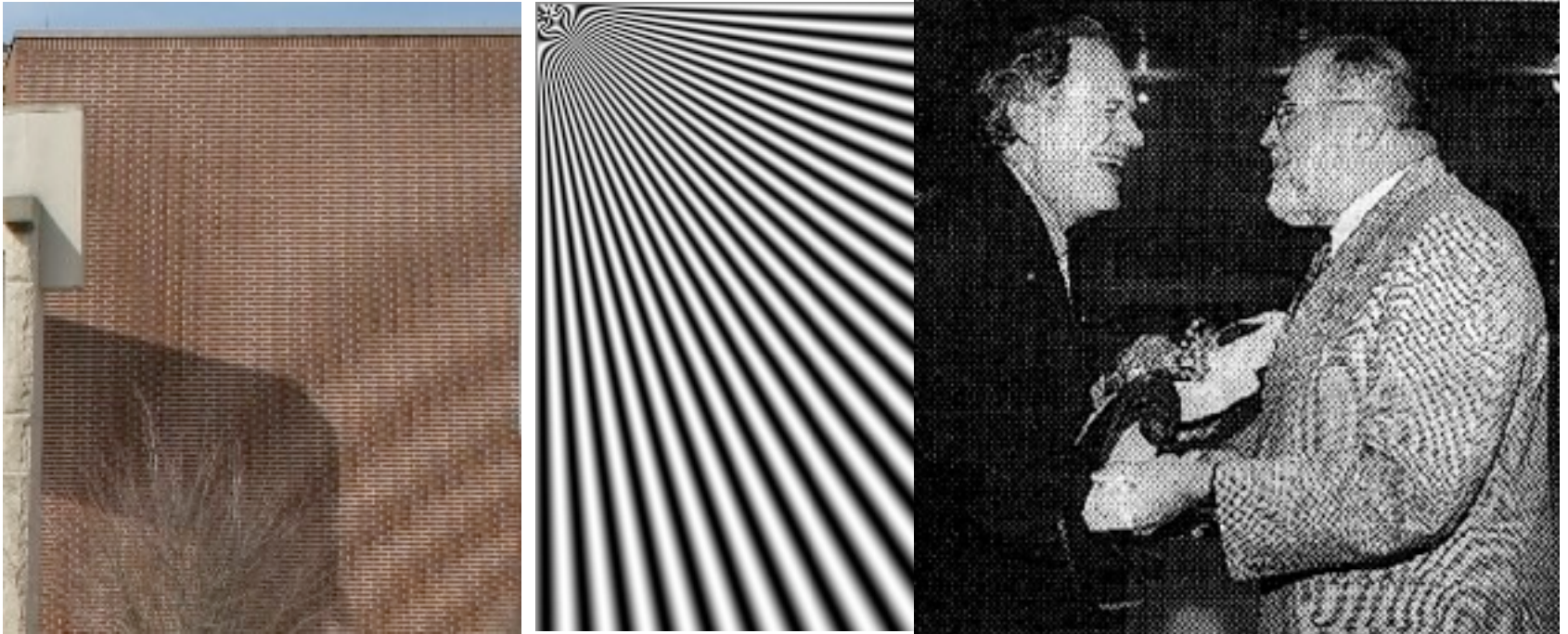
$$f_{\text{alias}} = \left| f_{\text{abtast}} - f_{\text{signal}} \right|$$



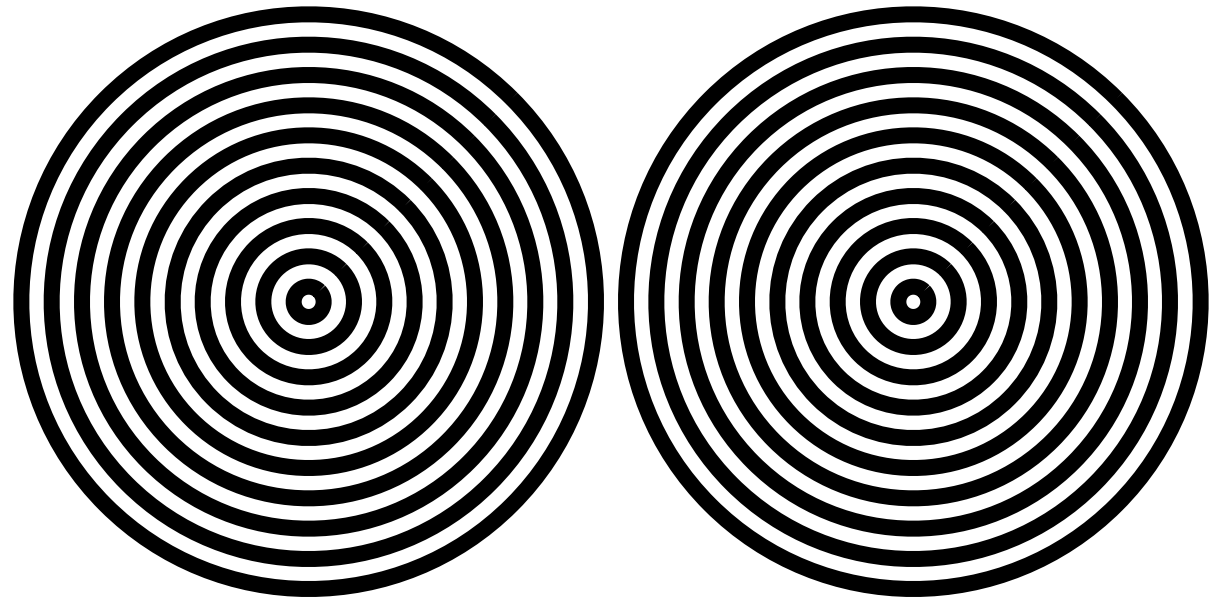
- Durch Unterabtastung ($f_{\text{abtast}} < 2 f_{\text{max}}$) entstehendes falsches Signal
- Frequenz des Aliasing-Signals = Differenz aus Original- und Abtastsignal
- Schwebungstöne beim Stimmen einer Gitarre

Aliasing in digitalen Bildern

Film-Beispiel



Moiree Muster



Verhinderung von Aliasing-Effekten

- Begrenzung der maximalen Signalfrequenz
 - Bei Digitalkameras: unscharfe Optik
 - Weichzeichner vor dem Bildsensor
- Supersampling mit höherer Samplingfrequenz und dann Tiefpassfiltern
- Beispiel: Antialiasing durch Supersampling beim Zeichnen von Linien in einen Framebuffer (siehe 3DCG Teil dieser Vorlesung)

Konvolution, Korrelation

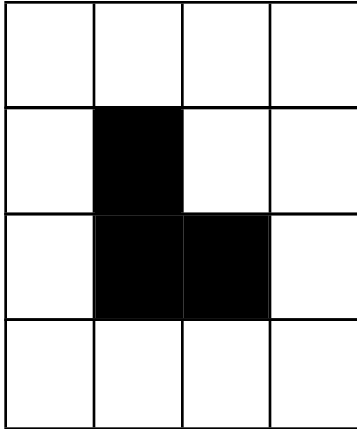
Lineare Operatoren auf Bildern

- Seien f, g abgetastete Bilder, a, b , Skalare
- O ist ein linearer Operator, falls gilt:

$$O(af + bg) = aO(f) + bO(g)$$

- Beispiel: Bild abdunkeln: $O(f(i,j)) = 0.5 f(i,j)$

Hintereinanderschreiben von Pixeln



- 2-dimensionales Bild wird zu einem langen 1-dimensionalen Vektor

Linearer Operator als Matrix

O lässt sich auch als Matrix ausdrücken:

Seien x, y die hintereinandergeschriebenen Pixel zweier Bilder, dann ist

$$\vec{y} = A\vec{x}$$

Wobei A quadratisch mit Rang der Pixelanzahl und jeder Eintrag $A_{i,j}$ gibt an, mit welchem Gewicht Pixel j aus x auf Pixel i in y abgebildet wird

Verschiebungsinvariante Operatoren

- ... sind lineare Operatoren, deren Wirkung unabhängig vom Ort ist:

$$O \circ f(x + a, y + b) = [O \circ f](x + a, y + b)$$

- Beispiel: gleichmäßige Unschärfe im Bild durch Bewegung der Kamera

Konvolution (Faltung)

- Seien f, g abgetastete Bilder mit unendlicher Größe, m, n , Skalare

$$(g * f)(m, n) = \sum_{i=-\infty}^{\infty} \sum_{j=-\infty}^{\infty} g(i, j) f(m - i, n - j)$$

Heißt Konvolution der Funktion f mit g

- g heißt die Konvolutionsfunktion
- Funktioniert so nur für unendlich große Bilder

Eigenschaften der Konvolution

- Linear & verschiebungsinvariant
- Kommutativ & assoziativ

$$[g_1 * g_2](m, n) = [g_2 * g_1](m, n)$$

$$g_1 * ([g_2 * g_3](m, n)) = [g_1 * g_2](m, n) * g_3(m, n)$$

- D.h. wir können mehrere Konvolutionen vorab kombinieren und dann gemeinsam anwenden

Konvolution vereinfacht

Hat die Konvolutionsfunktion g nur einen begrenzten Bereich, in dem $g \neq 0$, dann heisst dieser Bereich Kern von g (kernel)

0	0	0	0	0	0	0	0	0
0	0	0	0	0	0	0	0	0
0	0	0	-1	0	1	0	0	0
0	0	0	-1	0	1	0	0	0
0	0	0	-1	0	1	0	0	0
0	0	0	0	0	0	0	0	0
0	0	0	0	0	0	0	0	0

Konvolution anschaulich

1	0	-1	0	0	0	0
1	0	-1	1	0	0	0
1	0	-1	1	1	0	0
0	1	1	1	1	1	0
0	0	1	1	1	0	0
0	0	1	1	1	0	0
0	0	0	0	0	0	0

	1	2	0	-2	-1	
	2	2	0	-2	-2	
	3	2	0	-2	-3	
	3	2	0	-2	-3	
	2	2	0	-2	-2	

Verwendung der Konvolution



*

-1	0	1
-1	0	1
-1	0	1

=



Punktantwort (point spread function, PSF)

- Faltung eines einzelnen Dirac-Impulses
 - Bild mit einem einzigen schwarzen Pixel
- Abgetastetes Bild = Folge von Dirac-Impulsen * Pixelhelligkeiten
- → Gesamtwirkung durch PSF vollständig beschrieben
- → falls PSF umkehrbar, kann Wirkung theoretisch rückgängig gemacht werden
 - scheitert praktisch an Numerik
- PSF kann experimentell bestimmt werden

Korrelation

- Seien f, g abgetastete Bilder mit unendlicher Größe, m, n , Skalare

$$(g * f)(m, n) = \sum_{i=-\infty}^{\infty} \sum_{j=-\infty}^{\infty} g(i, j) f(i - m, j - n)$$

Heißt Korrelation der Funktion f mit g

- g heißt die Korrelationsfunktion
- Funktioniert so nur für unendlich große Bilder → Vereinfachung siehe Konvolution

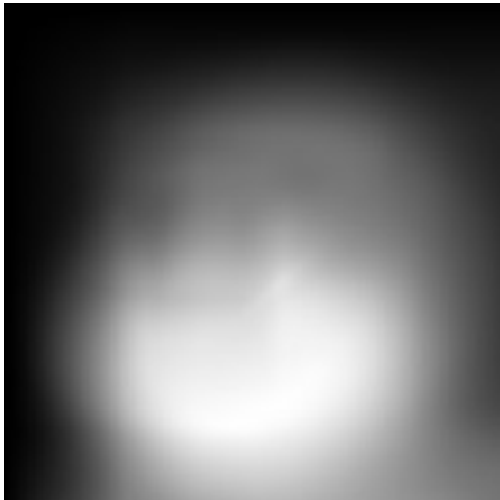
Verwendung der Korrelation



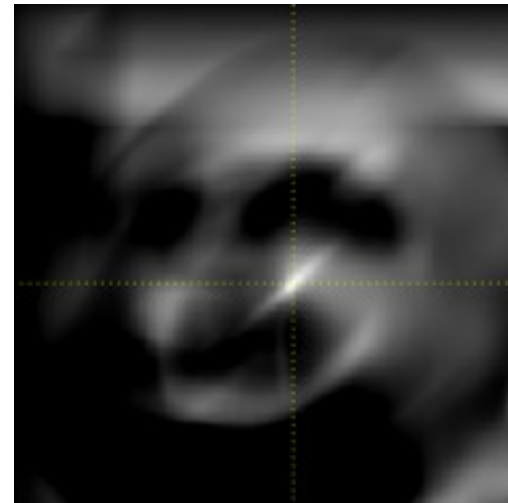
Ausgangsbild (f)



Korrelationsfunktion (g)



Ergebnis (g*f)



..normalisiert

Unterschiede Konvolution/Korrelation

- Nur verschieden in der Reihenfolge der Anwendung von g
- Gleich, falls der Kern von g symmetrisch unter 180° Rotation
- Beispiele:

$1/9$	$1/9$	$1/9$
$1/9$	$1/9$	$1/9$
$1/9$	$1/9$	$1/9$

Tiefpass

-1	-1	-1
-1	9	-1
-1	-1	-1

Hochpass

Tiefpass: Wirkung



$$* \begin{array}{|c|c|c|} \hline 1/9 & 1/9 & 1/9 \\ \hline 1/9 & 1/9 & 1/9 \\ \hline 1/9 & 1/9 & 1/9 \\ \hline \end{array} =$$



Nützlich z.B. gegen Rauschen und Alias-Effekte

Hochpass: Wirkung



$$* \begin{array}{|c|c|c|} \hline -1 & -1 & -1 \\ \hline -1 & 9 & -1 \\ \hline -1 & -1 & -1 \\ \hline \end{array} =$$



Nützlich zum Scharfzeichnen und Kanten finden

Fouriertransformation

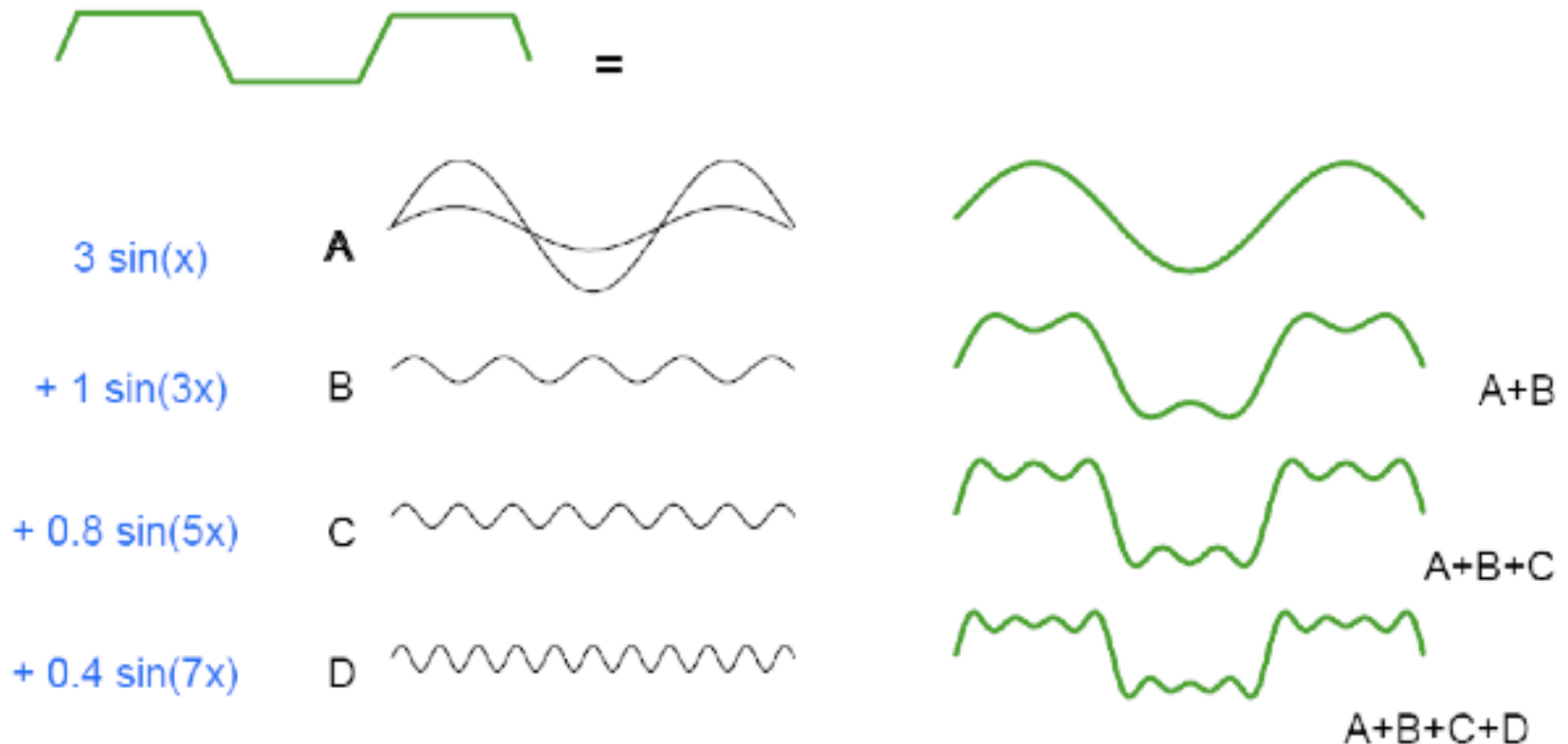
Fourier

- Jean Baptiste Joseph Fourier (1768-1830)
- Französischer Physiker und Mathematiker
- Erfinder der Fouriertransformation



Fouriertransformation: Grundidee

- Beschreibe beliebige Funktion als gewichtete Summe periodischer Grundfunktionen (Basisfunktionen) mit untersch. Frequenz



Periodische Funktionen

Parameter

A Amplitude: Intensität des Signals

φ Phase: Verschiebung gegenüber dem Ursprung

verschiedene Größen zur Beschreibung der "Frequenz" [Einheit]

zeitlich $f(t)$

räumlich $f(x)$

T Periodendauer [s]

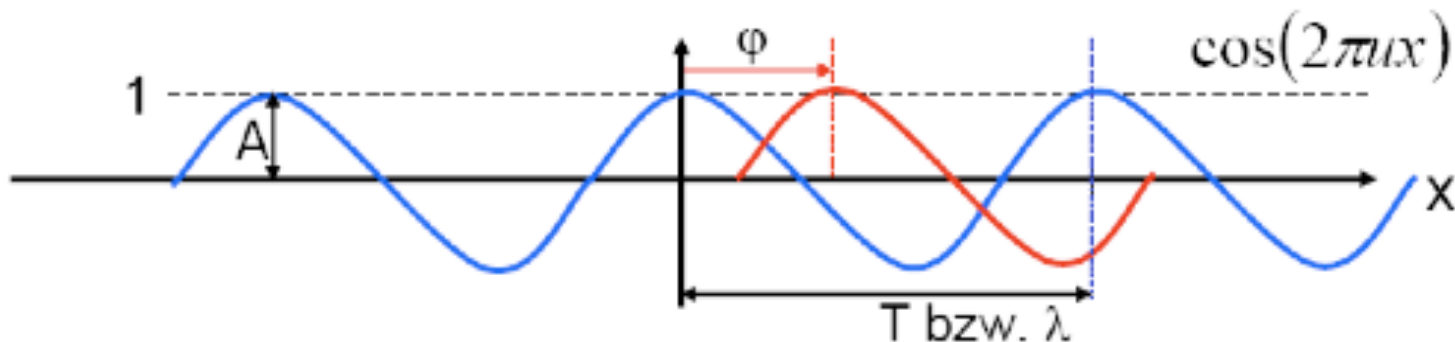
λ Wellenlänge [m]

f Frequenz $f = 1/T$ [1/s=Hz]

f Raumfrequenz $f = 1/\lambda$ [1/m]

ω Kreisfrequenz $\omega = 2\pi f$

k Wellenzahl $k = 2\pi/\lambda$



Fouriers Theorem

- **Jede beliebige** periodische **Funktion** lässt sich darstellen als **Summe von cos** und **sin** Funktionen unterschiedlicher Frequenzen.
- 1. Ist die Funktion nicht periodisch, aber auf einen bestimmten Definitionsbereich beschränkt, so kann man diesen Bereich einfach kopieren (periodisch fortsetzen) und hat damit wieder eine periodische Funktion.
- 2. Ein Bild kann man als Zeilen und Spalten von nichtperiodischen Funktionen auffassen. Man kann also auch ein Bild fouriertransformieren.

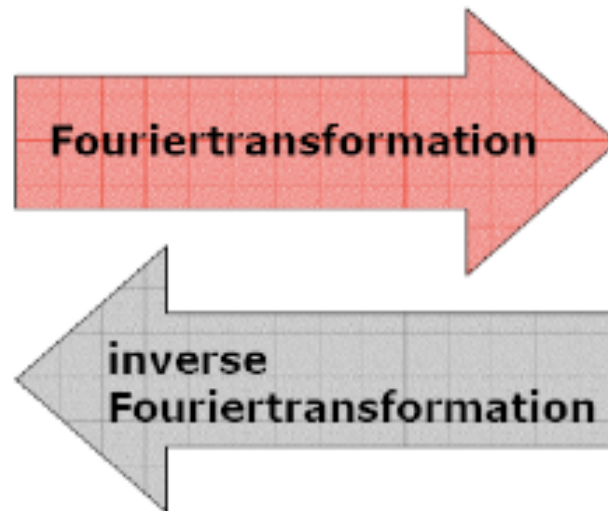
Motivation (1)

- Manche Operationen sind im Ortsraum (d.h. auf den Pixeln des Bildes) schwer
 - Herausfiltern bestimmter Frequenzen
 - Beseitigung störender Details
 - Konvolution, Korrelation
- Ziel: übertrage Bild in einen Raum, in dem diese Operationen leichter sind
 - z.B. Zerlegung des Bildes in Frequenzen
 - Rückweg muss möglich sein!
 - Verschiedene Möglichkeiten, gleiches Prinzip

Motivation (2)

- Bisher: Darstellung des Bildes im **Ortsraum** durch den Grauwert an einem bestimmten Ort
- Jetzt: Darstellung im **Frequenzraum** durch cos und sin Funktionen verschiedener Frequenzen
- Ein Bild kann eindeutig und vollständig in beiden Räumen dargestellt werden.

Ortsraum



Frequenzraum



Fouriertransformation: Eigenschaften

- Transformation: verändert eine Funktion nicht, sondern stellt sie nur anders dar
- Transformation ist umkehrbar \rightarrow inverse Fouriertransformation

- Analog zum Basiswechsel in der Vektorrechnung

Exkurs: Vektorrechnung

$\begin{pmatrix} 1 \\ 0 \\ 0 \end{pmatrix}$, $\begin{pmatrix} 0 \\ 1 \\ 0 \end{pmatrix}$, $\begin{pmatrix} 0 \\ 0 \\ 1 \end{pmatrix}$ bilden eine Basis b_1 des \mathbb{R}^3
sind paarweise orthogonal
haben Länge 1

$\begin{pmatrix} 1/\sqrt{2} \\ 1/\sqrt{2} \\ 0 \end{pmatrix}$, $\begin{pmatrix} 1/\sqrt{2} \\ -1/\sqrt{2} \\ 0 \end{pmatrix}$, $\begin{pmatrix} 0 \\ 0 \\ 1 \end{pmatrix}$ bilden ebenfalls eine Basis b_2 des \mathbb{R}^3
sind ebenfalls paarweise orthogonal
Haben ebenfalls Länge 1

$\begin{pmatrix} 1/\sqrt{2} & 1/\sqrt{2} & 0 \\ 1/\sqrt{2} & -1/\sqrt{2} & 0 \\ 0 & 0 & 1 \end{pmatrix}$ Ist orthogonal und normiert
(d.h. $M^T = M^{-1}$)
Ist Basiswechselmatrix
von b_1 nach b_2

Anschaulich: Basisvektoren eines Bildes

$$\begin{array}{l} \boxed{1 \ 0 \ 1 \ 0} \\ = 1 * \boxed{1 \ 0 \ 0 \ 0} \\ + 0 * \boxed{0 \ 1 \ 0 \ 0} \\ + 1 * \boxed{0 \ 0 \ 1 \ 0} \\ + 0 * \boxed{0 \ 0 \ 0 \ 1} \end{array}$$

bilden eine Basis des \mathbb{R}^4
sind paarweise orthogonal
haben Länge 1

- Wahl anderer Basisvektoren → Transformation mittels Basiswechsel
- Basiswechsellmatrix vom Rang der Pixelanzahl

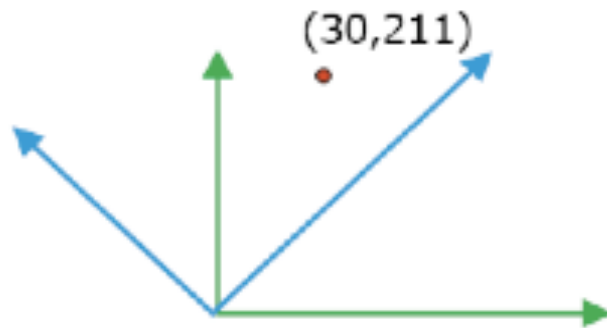
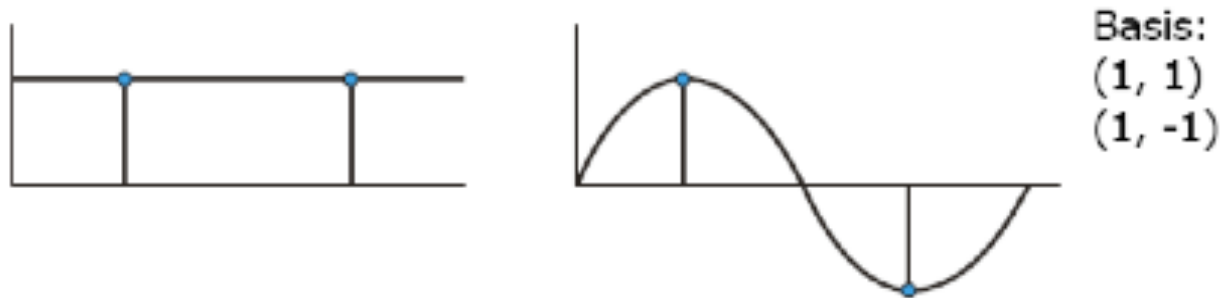
Orthogonale Funktionen

- Seien f_1 und f_2 Funktionen, die an N Stellen abgetastet sind (also N -dim. Vektoren)
- f_1 und f_2 sind orthogonal, falls gilt:

$$f_1 * f_2 = \sum_{k=0}^{N-1} f_1(k) f_2(k) = 0$$

- D.h. das Skalarprodukt der zugehörigen Vektoren ist 0
- N paarweise orthogonale Funktionen $f_1 \dots f_N$ bilden damit eine orthogonale Basis des N -dim. Raums
- Transformationen zwischen orthogonalen Basen sind immer umkehrbar

Orthogonale Funktionen



Transformation:

$$(30, 211) * \begin{pmatrix} 1 & 1 \\ 1 & -1 \end{pmatrix} = (241, -181)$$

Rücktransformation:

$$(241, -181) * \begin{pmatrix} 1 & 1 \\ 1 & -1 \end{pmatrix}^T = (60, 422)$$

Anmerkung:

Das Resultat der Rücktransformation muss skaliert werden, weil die Basis nicht normiert ist.

Orthogonale Funktionstransformationen

- Betrachte abgetastete Funktionen wie Vektoren
- Finde neue geeignete orthogonale Basis
- Üblicherweise Basisfunktionen, die eine Bedeutung bzgl. der betrachteten Eigenschaft haben
 - Fourier-Basis: komplexe, periodische Funktionen
 - Kosinusbasis: Kosinusfunktionen
- Transformiere Bild in diese Basis $\vec{y} = A\vec{x}$
- Betrachte es dort
- Transformiere zurück $\vec{x} = A^{-1}\vec{y}$

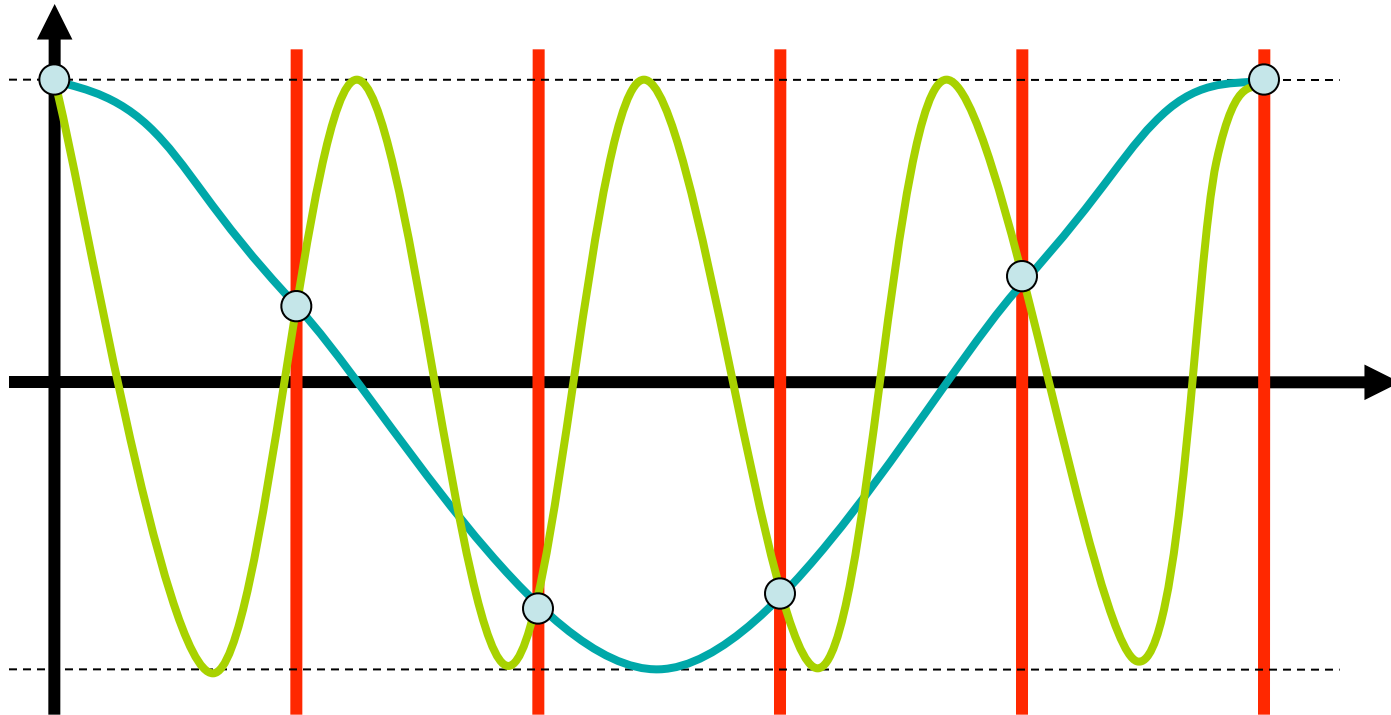
Die Fourierbasis (1)

- Ausgangspunkt: Bildzeile mit N Pixeln
- **1. Versuch:** wähle Kosinusfunktionen

$$\cos(u_1 n), \cos(u_2 n), \dots, \cos(u_N n)$$

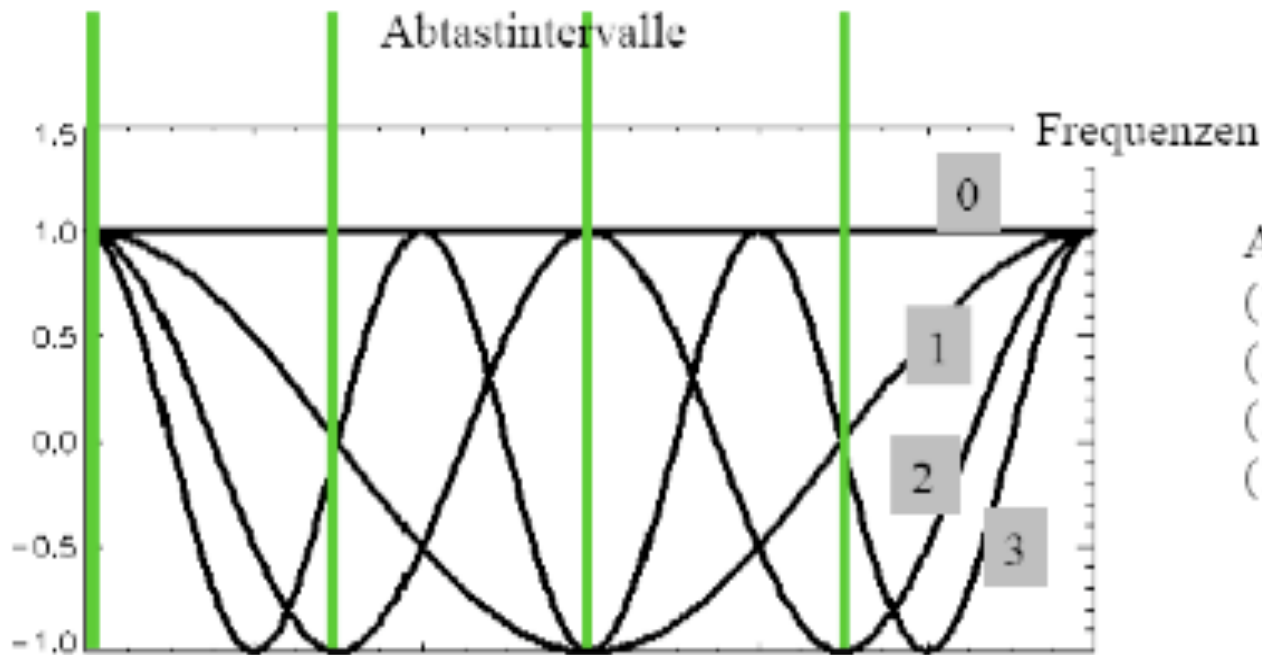
- Wobei $u_1 \dots u_N$ ganzzahlige Vielfache von $u_0 = 2\pi/N$

Fourierbasis (2)



- $N=5$, $u_i = 1$, $u_j = 4 = N - u_i$
- Problem: falls $u_i = N - u_j$ ist, sind die Abtastungen gleich
- → nur $N/2$ Funktionen verfügbar, **keine Basis**
- Siehe auch Shannon-Nyquist Theorem, Aliasing

Fourierbasis (3)

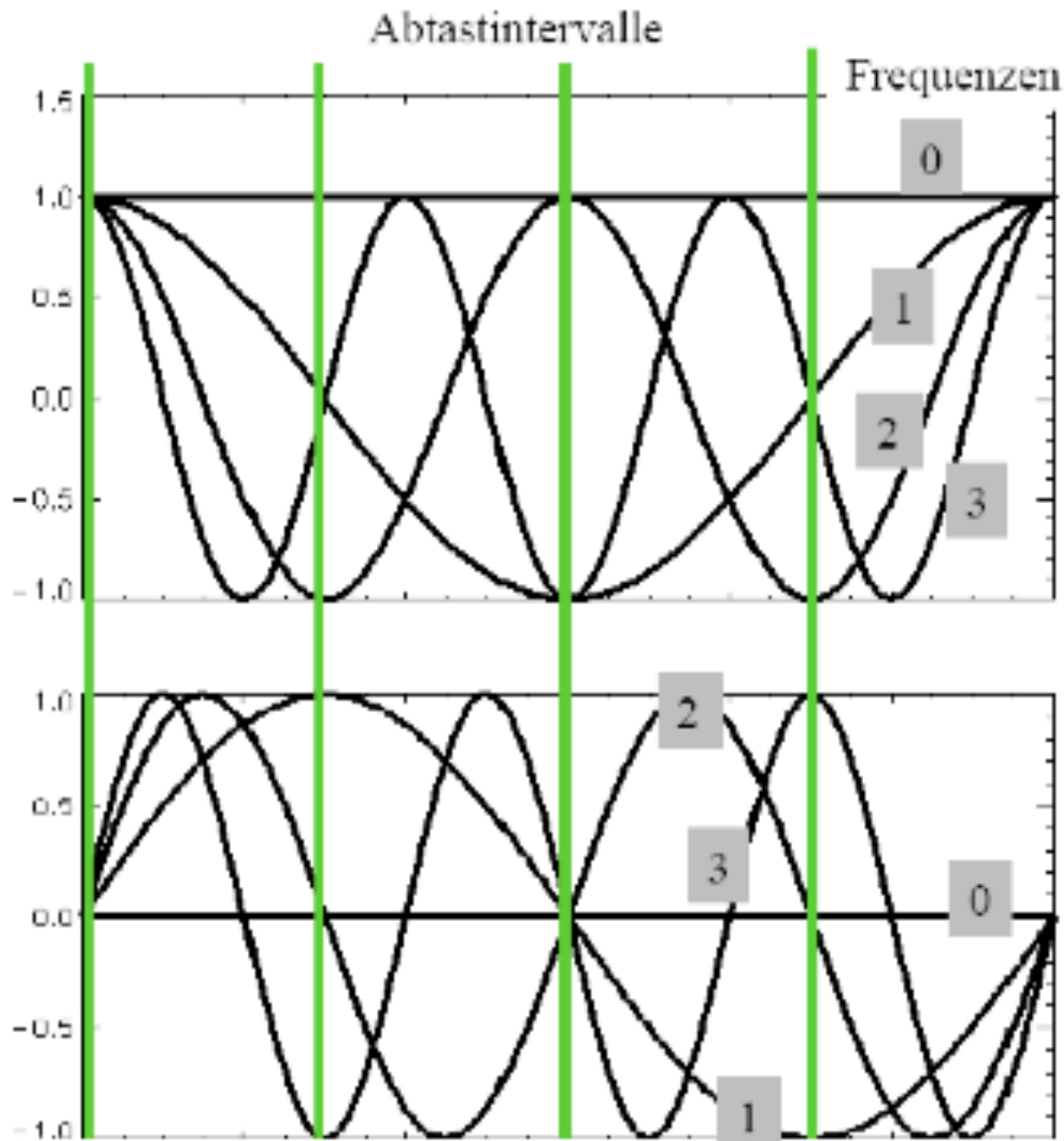


Abgetastete Kosinuswellen:
(1 1 1 1)
(1 0 -1 0)
(1 -1 1 -1)
(1 0 -1 0)

Lösungen:

- frequenzverschobene Perioden (DCT).
- komplexe periodische Funktionen (FT).

Basis- funktions- paare



Abgetastete Kosinuswellen:

(1 1 1 1)

(1 0 -1 0)

(1 -1 1 -1)

(1 0 -1 0)

Abgetastete Sinuswellen:

(0 0 0 0)

(0 1 0 -1)

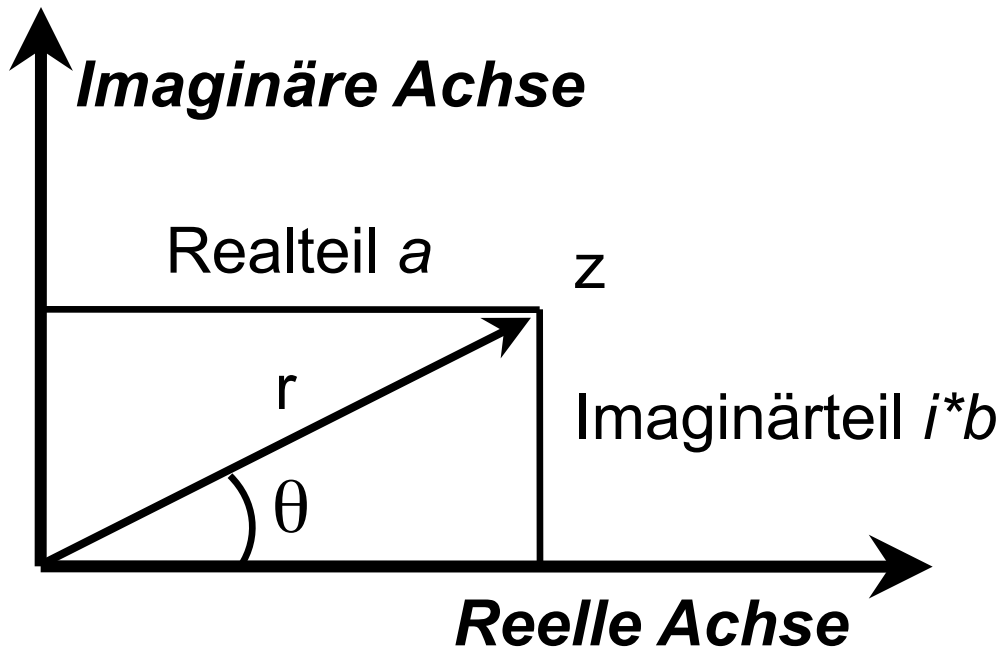
(0 0 0 0)

(0 -1 0 1)

Erinnerung: komplexe Zahlen

- Im Bereich der reellen Zahlen gibt es keine Lösung für $x^2 = -1$
 - Einführung der imaginären Zahlen
 - i : Lösung der Gleichung $x^2 = -1$
- Die Gruppe der reellen und imaginären Zahlen nennt man *komplexe Zahlen*
- Komplexe Zahl z : $z = a + i*b$, wobei a und b reell sind

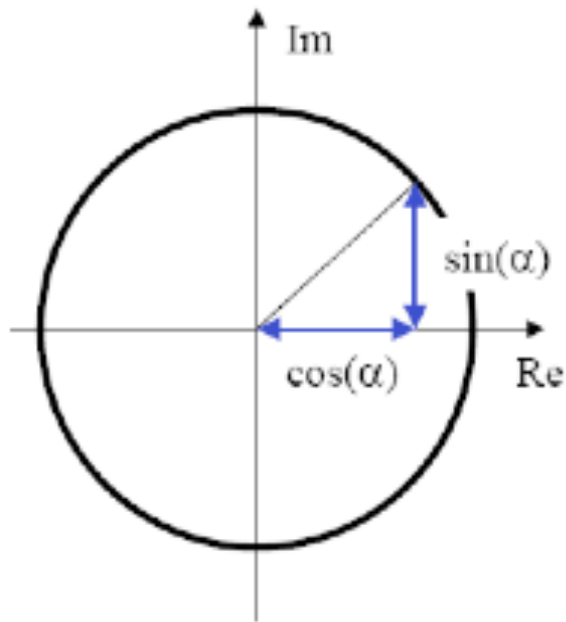
Erinnerung: komplexe Zahlen



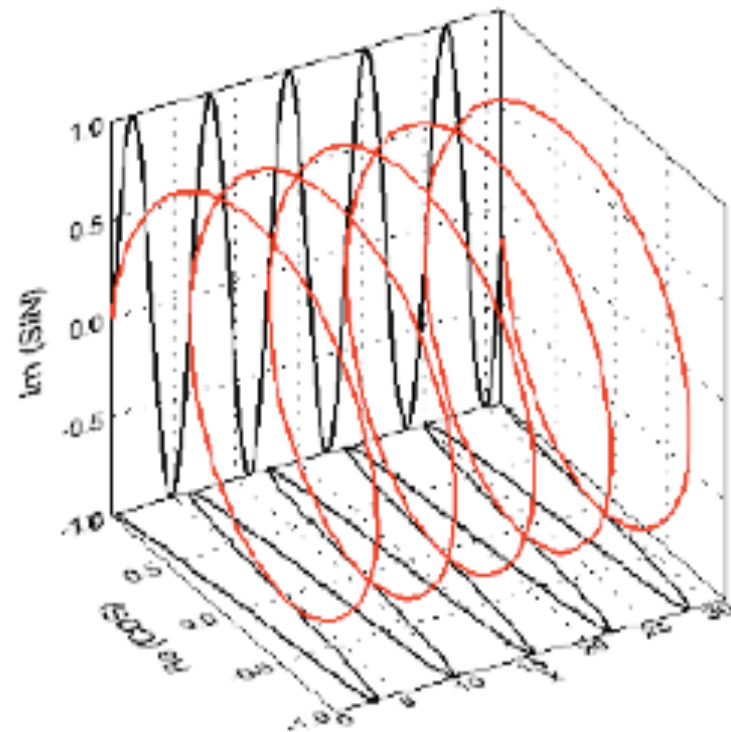
$$z = a + ib = r \times e^{i\theta} = r(\cos(\theta) + i \times \sin(\theta))$$

Komplexe periodische Funktionen

$$\cos(\alpha) + i \cdot \sin(\alpha)$$



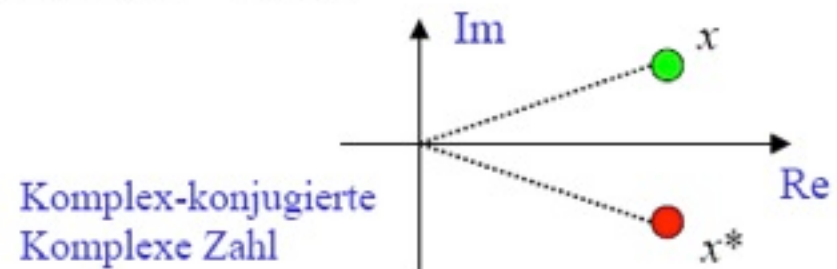
Alle Werte für komplexe Zahlen der Form $\cos(\alpha) + i \sin(\alpha)$ liegen auf einem Kreis mit Abstand 1 in der komplexen Ebene.



Komplexes Skalarprodukt

Skalarprodukt zwischen zwei Vektoren mit komplexen Elementen:

- Summe der Produkte der Komponenten des ersten Vektors mit der komplex-konjugierten Komponenten des zweiten Vektors.
- Die komplex-konjugierte zu $x=a+i\cdot b$ ist $x^*=a-i\cdot b$.



Skalarprodukt:

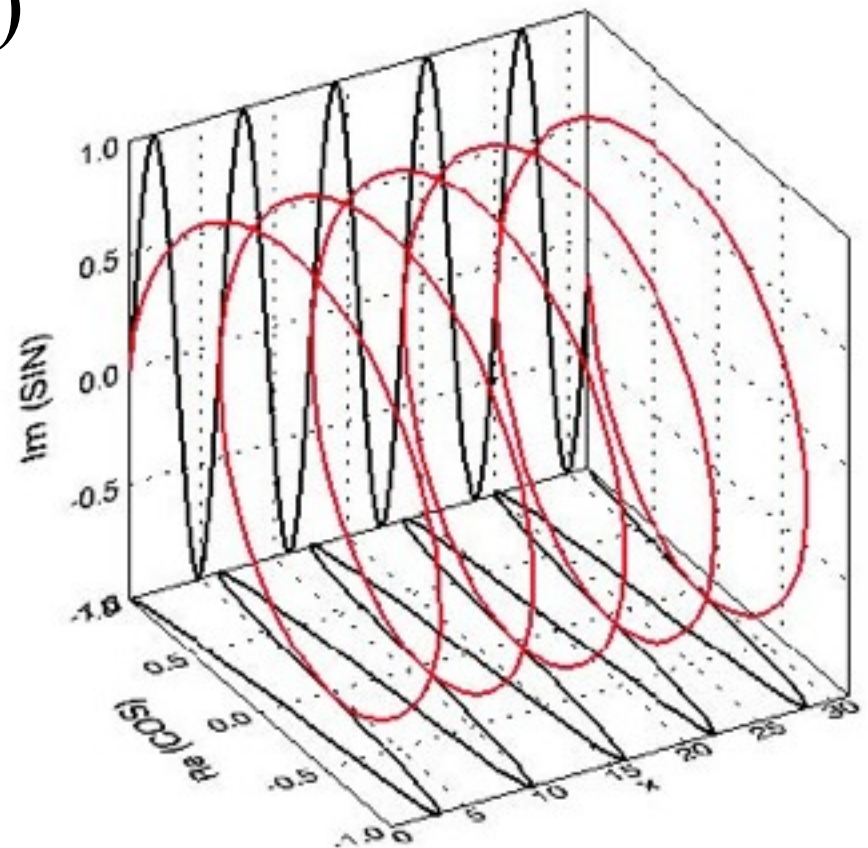
$$\bar{x} \bullet \bar{y} = \sum_{i=0}^{N-1} x_i \cdot y_i^* = \sum_{i=0}^{N-1} (\operatorname{Re}(x_i) + i \operatorname{Im}(x_i))(\operatorname{Re}(y_i) - i \operatorname{Im}(y_i))$$

Fourierbasis (3)

- **2. Versuch:** wähle komplexe Funktionen

$$f = \cos(un) + i \sin(un)$$

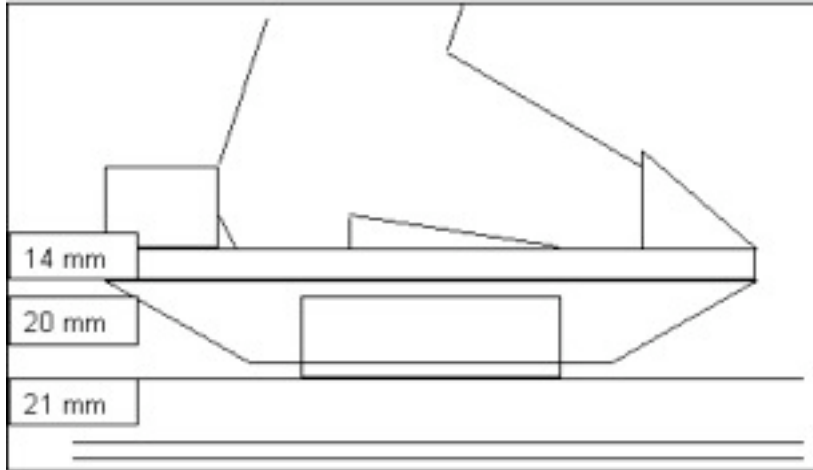
- Wobei u ein ganzz. Vielf. von $u_0 = 2\pi/N$
- \rightarrow N verschiedene Funktionen
- **Ist eine Basis**



Belastungen beim Carving

Technikanalyse und Kräfte beim Carving

Diplomarbeit zur Erlangung des Eidg. Turn- und Sportlehrerdiploms II



- „Die erheblichen Schwingungen erlauben es auch nicht, eindeutige Aussagen bezüglich absoluter Kräfte zu machen. Eine **Fourier-Analyse** hätte diesbezüglich eine Vereinfachung, [...] der Diagrammauswertung gegeben.“

